

DOI:10.61818/02910533

ISSN: 2965-0291



Boletim de monitoramento climático de grandes bacias hidrográficas: Bacia Amazônica

Volume 5, Número 33

Manaus, 13 de agosto de 2025



MINISTÉRIO DA
CIÊNCIA, TECNOLOGIA
E INOVAÇÃO



Boletim de monitoramento climático de grandes bacias hidrográficas: Bacia Amazônica

Editor Chefe Renato Cruz Senna

Meteorologista

Pesquisador - CODAM, INPA

Editoração Renato Cruz Senna

Luan Rogério Rodrigues Carvalho

Adriano Nobre Arcos

Tainá Sampaio Xavier Conchy Rocha

Periodicidade Semanal

Revisão e Diagramação Inácio de Oliveira Lima Neto

Contato Instituto Nacional de Pesquisas da Amazônia - INPA

Av. André Araújo, 2.936 - Petrópolis

CEP 69067-375 - Manaus -AM, Brasil

E-mail: renato.senna@inpa.gov.br

clima.amazonia@inpa.gov.br

Telefone: (92) 3643 3154 / 3643-3170



www.instagram.com/clima.amazonia

Esta pesquisa foi apoiada como parte do Programa de Grande Escala da Biosfera-Atmosfera na Amazônia (LBA), coordenado pelo Instituto Nacional de Pesquisas da Amazônia (INPA), financiado pelo Ministério da Ciência, Tecnologia e Inovação (MCTI) entidade da administração direta do Governo Federal Brasileiro.



Esta obra está licenciada com uma Licença Creative Commons Atribuição - Não Comercial - Sem Derivações 4.0 Internacional.



MINISTÉRIO DA
CIÊNCIA, TECNOLOGIA
E INOVAÇÃO

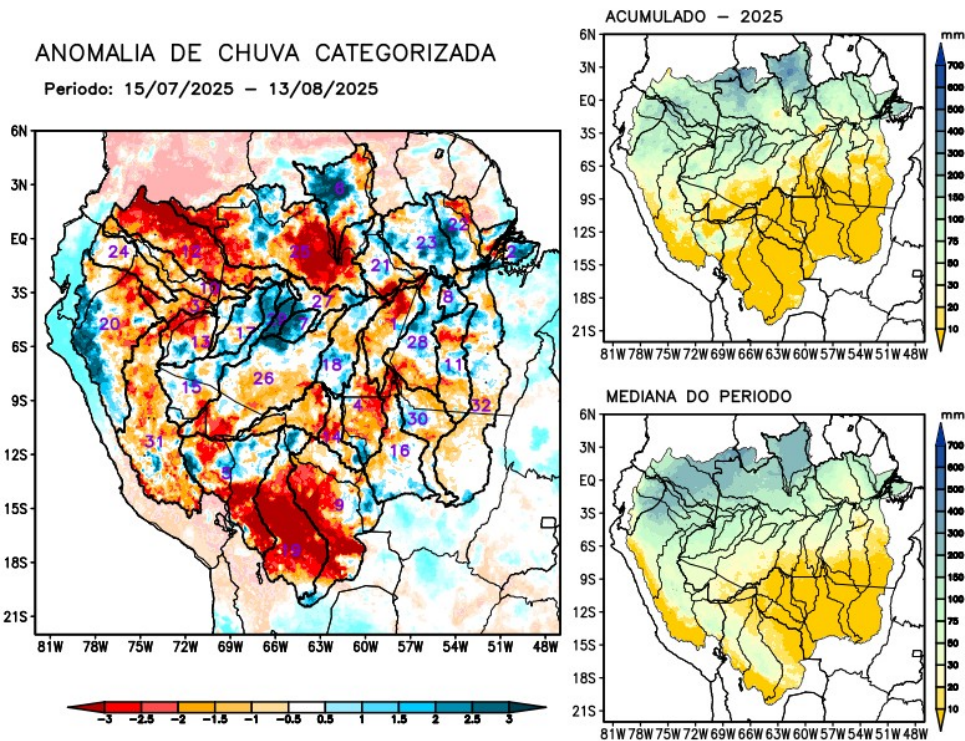


Índice

| | |
|---|-----------|
| Condições atuais | 1 |
| Bacia do Rio Branco | 2 |
| Bacia do Rio Negro | 2 |
| Bacia do Rio Marañon | 2 |
| Bacia do Rio Ucayali | 3 |
| Bacia do Rio Napo | 3 |
| Curso principal do Rio Amazonas (Peru) | 3 |
| Bacia do Rio Javari | 4 |
| Bacia do Rio Içá | 4 |
| Bacia do Rio Jutai | 4 |
| Bacia do Rio Juruá | 5 |
| Bacia do Rio Japurá | 5 |
| Bacia do Rio Tefé | 5 |
| Bacia do Rio Coari | 6 |
| Bacia do Rio Purus | 6 |
| Curso principal do Rio Solimões | 6 |
| Bacia do Rio Beni | 7 |
| Bacia do Rio Mamoré | 7 |
| Bacia do Rio Guaporé | 7 |
| Bacia do Rio Ji-Paraná | 8 |
| Bacia do Rio Aripuanã | 8 |
| Bacia do Rio Madeira | 8 |
| Bacias da margem esquerda do Rio Amazonas (Amazonas) | 9 |
| Bacia do Rio Abacaxis | 9 |
| Bacia do Rio Juruena | 9 |
| Bacia do Rio Teles Pires | 10 |
| Bacia do Rio Tapajós | 10 |
| Bacias da margem esquerda do Rio Amazonas (noroeste do Pará) | 10 |
| Bacia do Rio Curuá Una | 11 |
| Bacias da margem esquerda do Rio Amazonas (nordeste do Pará) | 11 |
| Bacia do Rio Iriri | 11 |
| Bacia do Rio Xingu | 12 |
| Curso principal do Rio Amazonas (Brasil) | 12 |
| Previsão multimodelo subsazonal | 13 |
| Valores de referência | 15 |
| Categorização das anomalias de precipitação | 16 |
| Comportamento semanal das anomalias (gráficos auxiliares) | 17 |
| Diagrama unifilar das bacias representadas | 20 |

Condições atuais

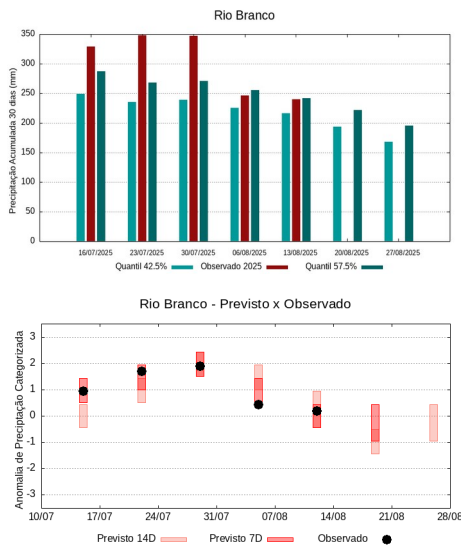
Mapas das condições observadas de precipitação e gráficos individuais por bacias são produzidos a partir dos dados MERGE/GPM gerados pelo INPE/CPTEC, considerando como climatologia o período de 2000 a 2024. **Entre os dias 15 de julho e 13 de agosto de 2025, chuvas abaixo da climatologia concentradas no sudeste da área monitorada caracterizaram com déficit de precipitação sobre o curso principal do Rio Amazonas em território peruano, as bacias hidrográficas dos rios Abacaxis, Aripuanã, Beni, Guaporé, Içá, Japurá, Javari, Ji-Paraná, Madeira, Mamoré, Napo, Negro, Purus, Teles Pires e Ucayali; Previsão de chuvas acima da climatologia sobre as bacias hidrográficas dos rios Coari, Curuá Una, Jutai, bacias da margem esquerda do Rio Amazonas no noroeste do Estado do Pará e Tefé; chuvas próximas da normalidade sobre o curso principal do Rio Amazonas em território brasileiro, as bacias hidrográficas dos rios Branco, Irirí, Juruá, Juruena, Marañon, bacias da margem esquerda do Rio Amazonas no nordeste do Estado do Amazonas e no nordeste do Estado do Pará, Tapajós, Xingu e o curso principal do Rio Solimões. O multimodelo indica para as próximas semanas chuvas acima da climatologia sobre o curso principal do Rio Amazonas em território peruano, bacias hidrográficas dos rios Aripuanã, Içá, Japurá e Napo; previsão de chuvas abaixo da climatologia em áreas isoladas; chuvas próximas a climatologia sobre quase a totalidade da região monitorada.**



| | | | | | | | |
|---|---------------|----|-----------|----|------------------|----|-------------|
| 1 | Abacaxis | 9 | Guaporé | 17 | Jutai | 25 | Negro |
| 2 | Amazonas (BR) | 10 | Içá | 18 | Madeira | 26 | Purus |
| 3 | Amazonas (PE) | 11 | Irirí | 19 | Mamoré | 27 | Solimões |
| 4 | Aripuanã | 12 | Japurá | 20 | Marañon | 28 | Tapajós |
| 5 | Beni | 13 | Javari | 21 | Marg Esq (AM) | 29 | Tefé |
| 6 | Branco | 14 | Ji-Paraná | 22 | Marg Esq (PA) NE | 30 | Teles Pires |
| 7 | Coari | 15 | Juruá | 23 | Marg Esq (PA) NW | 31 | Ucayali |
| 8 | Curuá Una | 16 | Juruena | 24 | Napo | 32 | Xingu |

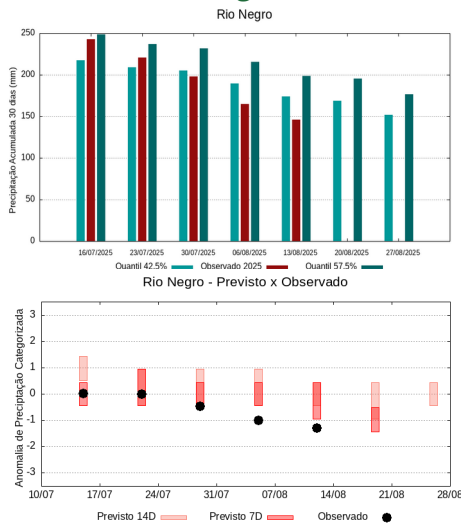
Análise individual por bacia hidrográfica

Bacia do Rio Branco



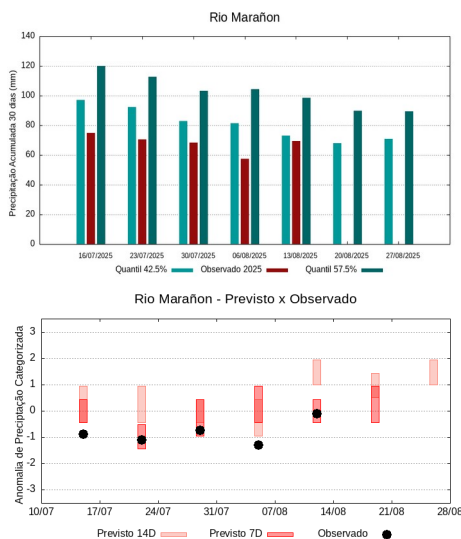
A climatologia do período em análise indica chuvas com registros variando entre **216 e 242 mm** sendo considerados normais (referência quantis 42.5% e 57.5%). Em **13 de agosto de 2025**, foram observados **240 mm** de precipitação média acumulada sobre a bacia em 30 dias, o cálculo da média do índice de anomalia categorizada na área da bacia o valor de **0.2**, classifica a bacia em condição de **normalidade**. Nas próximas semanas o comportamento climático indica **redução** dos volumes de chuva, o modelo de prognóstico subsazonal sugere um comportamento **próximo da normalidade ou tendência a seco**.

Bacia do Rio Negro



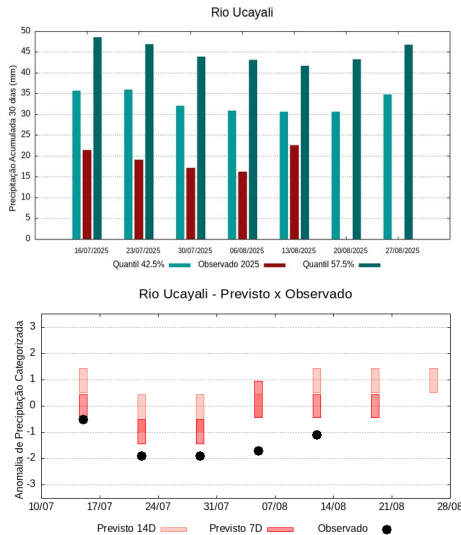
A climatologia do período em análise indica chuvas com registros variando entre **174 e 199 mm** sendo considerados normais (referência quantis 42.5% e 57.5%). Em **13 de agosto de 2025**, foram observados **146 mm** de precipitação média acumulada sobre a bacia em 30 dias, no cálculo da média do índice de anomalia categorizada na área da bacia o valor de **-1.3**, classifica a bacia em condição de **seco**. Nas próximas semanas o comportamento climático indica **redução** dos volumes de chuva, o modelo de prognóstico subsazonal sugere um comportamento **seco ou tendência a seco**.

Bacia do Rio Maranhão



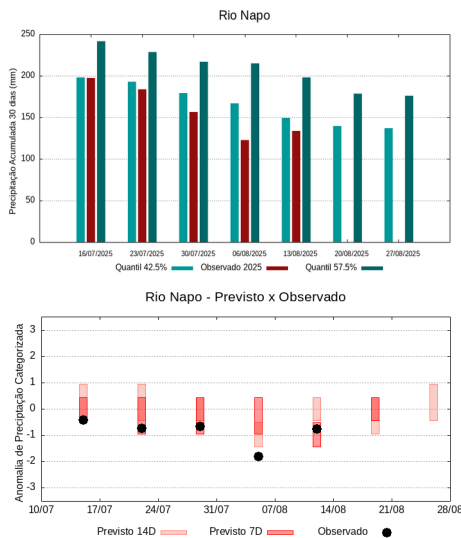
A climatologia do período em análise indica chuvas com registros variando entre **73 e 99 mm** sendo considerados normais (referência quantis 42.5% e 57.5%). Em **13 de agosto de 2025**, foram observados **69 mm** de precipitação média acumulada sobre a bacia em 30 dias, no cálculo da média do índice de anomalia categorizada na área da bacia o valor de **0.0**, classifica a bacia em condição de **normalidade**. Nas próximas semanas o comportamento climático indica **redução** dos volumes de chuva, o modelo de prognóstico subsazonal sugere um comportamento **próximo da normalidade ou tendência a chuvoso**.

Bacia do Rio Ucayali



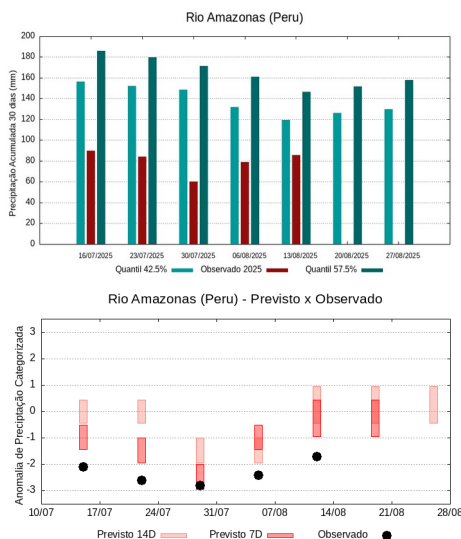
A climatologia do período em análise indica chuvas com registros variando entre **31 e 42 mm** sendo considerados normais (referência quantis 42.5% e 57.5%). Em **13 de agosto de 2025**, foram observados **23 mm** de precipitação média acumulada sobre a bacia em 30 dias, no cálculo da média do índice de anomalia categorizada na área da bacia o valor de **-1.1**, classifica a bacia em condição de **seco**. Nas próximas semanas o comportamento climático indica **elevação** dos volumes de chuva, o modelo de prognóstico subsazonal sugere um comportamento **próximo da normalidade**.

Bacia do Rio Napo



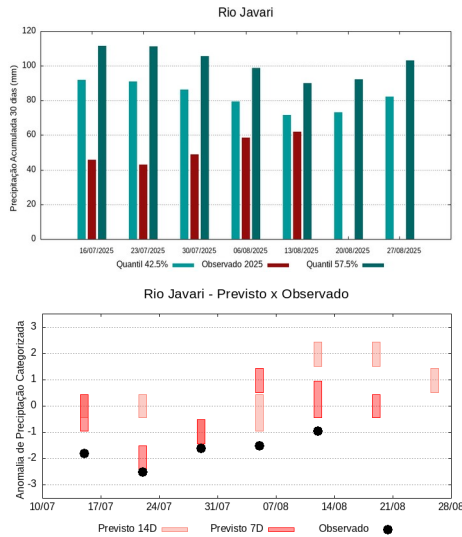
A climatologia do período em análise indica chuvas com registros variando entre **150 e 198 mm** sendo considerados normais (referência quantis 42.5% e 57.5%). Em **13 de agosto de 2025**, foram observados **134 mm** de precipitação média acumulada sobre a bacia em 30 dias, no cálculo da média do índice de anomalia categorizada na área da bacia o valor de **-0.7**, classifica a bacia em condição de **tendência a seco**. Nas próximas semanas o comportamento climático indica **redução** dos volumes de chuva, o modelo de prognóstico subsazonal sugere um comportamento **próximo da normalidade**.

Curso principal do Rio Amazonas (Peru)



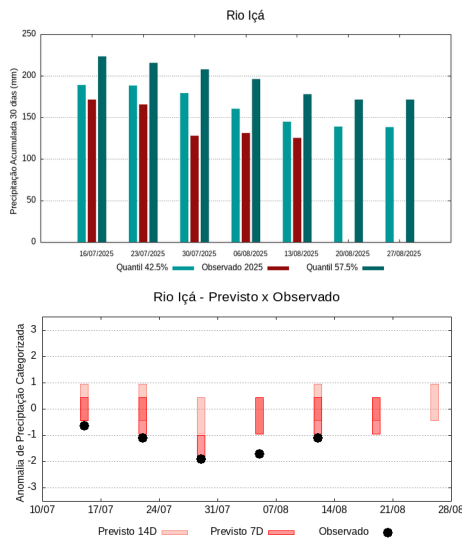
A climatologia do período em análise indica chuvas com registros variando entre **120 e 146 mm** sendo considerados normais (referência quantis 42.5% e 57.5%). Em **13 de agosto de 2025**, foram observados **86 mm** de precipitação média acumulada sobre a bacia em 30 dias, no cálculo da média do índice de anomalia categorizada na área da bacia o valor de **-1.7**, classifica a bacia em condição de **tendência a muito seco**. Nas próximas semanas o comportamento climático indica **elevação** dos volumes de chuva, o modelo de prognóstico subsazonal sugere um comportamento **próximo da normalidade ou tendência a seco**.

Bacia do Rio Javari



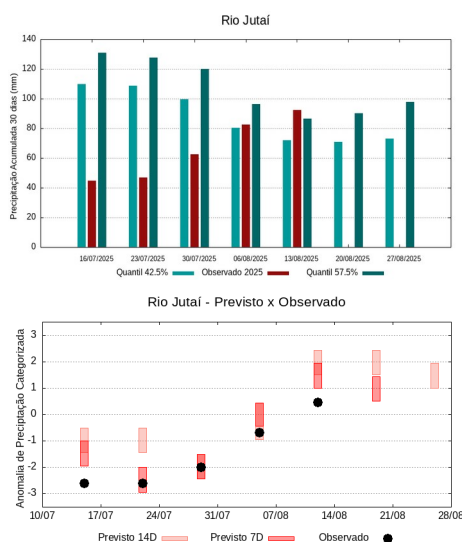
A climatologia do período em análise indica chuvas com registros variando entre **72 e 90 mm** sendo considerados normais (referência quantis 42.5% e 57.5%). Em **13 de agosto de 2025**, foram observados **62 mm** de precipitação média acumulada sobre a bacia em 30 dias, no cálculo da média do índice de anomalia categorizada na área da bacia o valor de **-0.9**, classifica a bacia em condição de **tendência a seco**. Nas próximas semanas o comportamento climático indica **elevação** dos volumes de chuva, o modelo de prognóstico subsazonal sugere um comportamento **próximo da normalidade**.

Bacia do Rio Içá (Putumayo)



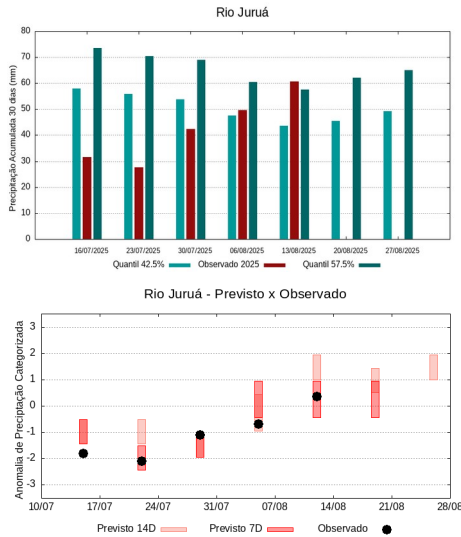
A climatologia do período em análise indica chuvas com registros variando entre **145 e 178 mm** sendo considerados normais (referência quantis 42.5% e 57.5%). Em **13 de agosto de 2025**, foram observados **125 mm** de precipitação média acumulada sobre a bacia em 30 dias, no cálculo da média do índice de anomalia categorizada na área da bacia o valor de **-1.1**, classifica a bacia em condição de **seco**. Nas próximas semanas o comportamento climático indica **manutenção** dos volumes de chuva, o modelo de prognóstico subsazonal sugere um comportamento **próximo da normalidade ou tendência a seco**.

Bacia do Rio Jutai



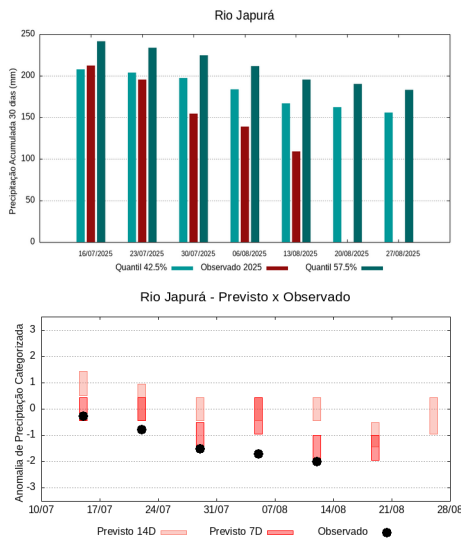
A climatologia do período em análise indica chuvas com registros variando entre **72 e 86 mm** sendo considerados normais (referência quantis 42.5% e 57.5%). Em **13 de agosto de 2025**, foram observados **92 mm** de precipitação média acumulada sobre a bacia em 30 dias, no cálculo da média do índice de anomalia categorizada na área da bacia o valor de **0.6**, classifica a bacia em condição de **tendência a chuvoso**. Nas próximas semanas o comportamento climático indica **elevação** dos volumes de chuva, o modelo de prognóstico subsazonal sugere um comportamento **chuvoso ou tendência a chuvoso**.

Bacia do Rio Juruá



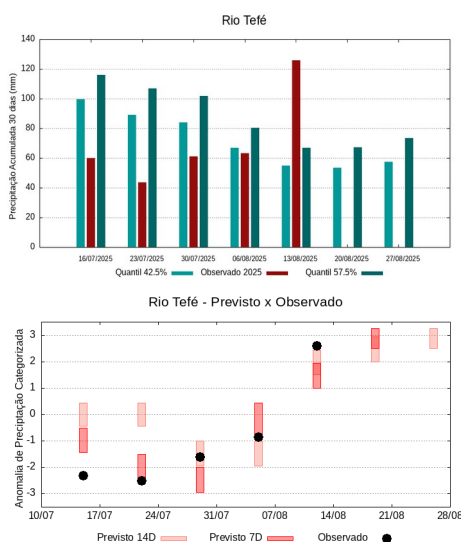
A climatologia do período em análise indica chuvas com registros variando entre **44 e 58 mm** sendo considerados normais (referência quantis 42.5% e 57.5%). Em **13 de agosto de 2025**, foram observados **61 mm** de precipitação média acumulada sobre a bacia em 30 dias, no cálculo da média do índice de anomalia categorizada na área da bacia o valor de **0.4**, classifica a bacia em condição de **normalidade**. Nas próximas semanas o comportamento climático indica **elevação** dos volumes de chuva, o modelo de prognóstico subsazonal sugere um comportamento **próximo da normalidade ou tendência a chuvoso**.

Bacia do Rio Japurá (Caquetá)



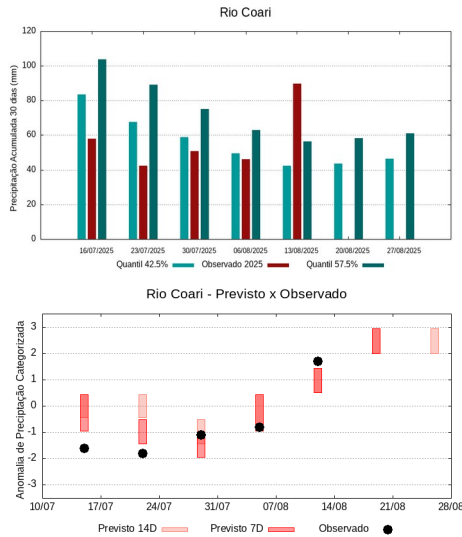
A climatologia do período em análise indica chuvas com registros variando entre **167 e 195 mm** sendo considerados normais (referência quantis 42.5% e 57.5%). Em **13 de agosto de 2025**, foram observados **109 mm** de precipitação média acumulada sobre a bacia em 30 dias, no cálculo da média do índice de anomalia categorizada na área da bacia o valor de **-2.1**, classifica a bacia em condição de **muito seco**. Nas próximas semanas o comportamento climático indica **manutenção** dos volumes de chuva, o modelo de prognóstico subsazonal sugere um comportamento **seco ou tendência a muito seco**.

Bacia do Rio Tefé



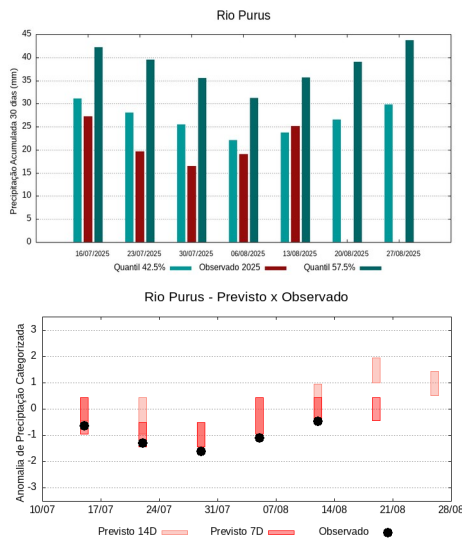
A climatologia do período em análise indica chuvas com registros variando entre **55 e 67 mm** sendo considerados normais (referência quantis 42.5% e 57.5%). Em **13 de agosto de 2025**, foram observados **126 mm** de precipitação média acumulada sobre a bacia em 30 dias, no cálculo da média do índice de anomalia categorizada na área da bacia o valor de **2.6**, classifica a bacia em condição de **tendência a extremamente chuvoso**. Nas próximas semanas o comportamento climático indica **elevação** dos volumes de chuva, o modelo de prognóstico subsazonal sugere um comportamento **extremamente chuvoso ou tendência a extremamente chuvoso**.

Bacia do Rio Coari



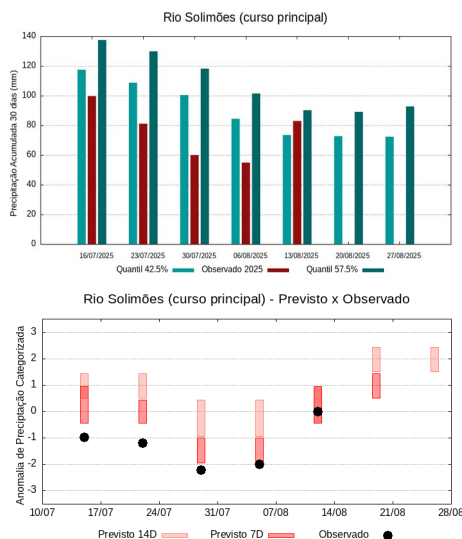
A climatologia do período em análise indica chuvas com registros variando entre **43 e 56 mm** sendo considerados normais (referência quantis 42.5% e 57.5%). Em **13 de agosto de 2025**, foram observados **90 mm** de precipitação média acumulada sobre a bacia em 30 dias, no cálculo da média do índice de anomalia categorizada na área da bacia o valor de **1.8**, classifica a bacia em condição de **tendência a muito chuvoso**. Nas próximas semanas o comportamento climático indica **elevação** dos volumes de chuva, o modelo de prognóstico subsazonal sugere um comportamento **muito chuvoso ou tendência a extremamente chuvoso**.

Bacia do Rio Purus



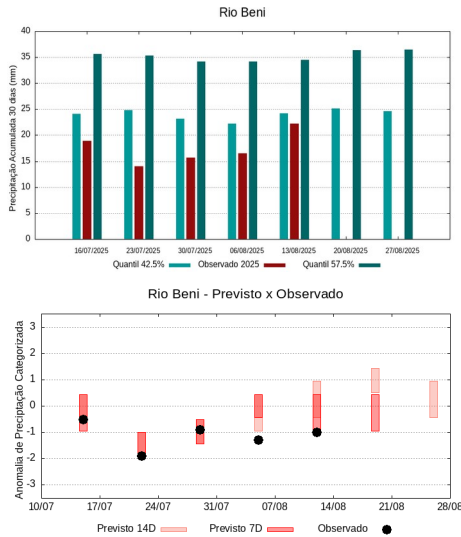
A climatologia do período em análise indica chuvas com registros variando entre **24 e 36 mm** sendo considerados normais (referência quantis 42.5% e 57.5%). Em **13 de agosto de 2025**, foram observados **25 mm** de precipitação média acumulada sobre a bacia em 30 dias, no cálculo da média do índice de anomalia categorizada na área da bacia o valor de **-0.5**, classifica a bacia em condição de **tendência a seco**. Nas próximas semanas o comportamento climático indica **elevação** dos volumes de chuva, o modelo de prognóstico subsazonal sugere um comportamento **próximo da normalidade**.

Curso principal do Rio Solimões



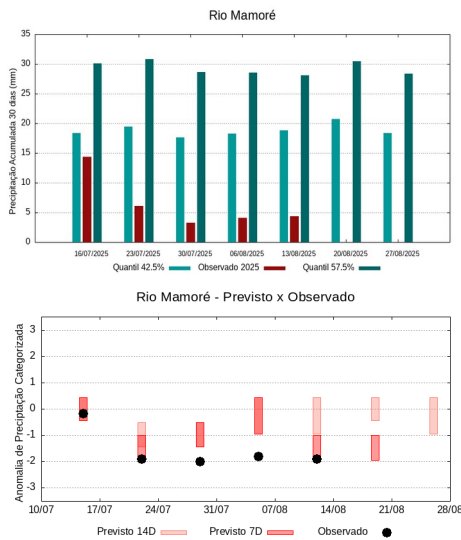
A climatologia do período em análise indica chuvas com registros variando entre **73 e 90 mm** sendo considerados normais (referência quantis 42.5% e 57.5%). Em **13 de agosto de 2025**, foram observados **83 mm** de precipitação média acumulada sobre a bacia em 30 dias, no cálculo da média do índice de anomalia categorizada na área da bacia o valor de **0.1**, classifica a bacia em condição de **normalidade**. Nas próximas semanas o comportamento climático indica **manutenção** dos volumes de chuva, o modelo de prognóstico subsazonal sugere um comportamento **chuvoso ou tendência a chuvoso**.

Bacia dos rios Beni e Madre de Dios



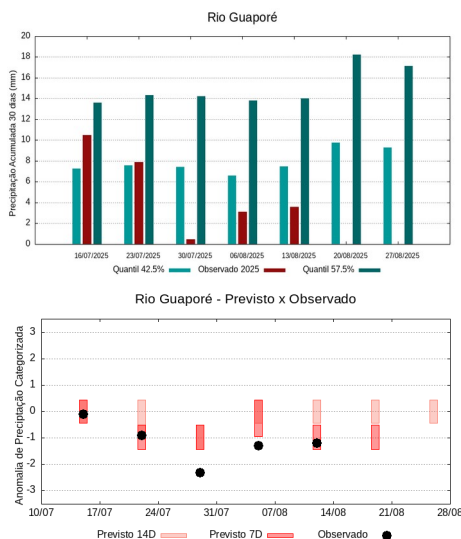
A climatologia do período em análise indica chuvas com registros variando entre **24 e 34 mm** sendo considerados normais (referência quantis 42.5% e 57.5%). Em **13 de agosto de 2025**, foram observados **22 mm** de precipitação média acumulada sobre a bacia em 30 dias, no cálculo da média do índice de anomalia categorizada na área da bacia o valor de **-1.0**, classifica a bacia em condição de **seco**. Nas próximas semanas o comportamento climático indica **manutenção** dos volumes de chuva, o modelo de prognóstico subsazonal sugere um comportamento **próximo da normalidade ou tendência a seco**.

Bacia do Rio Mamoré



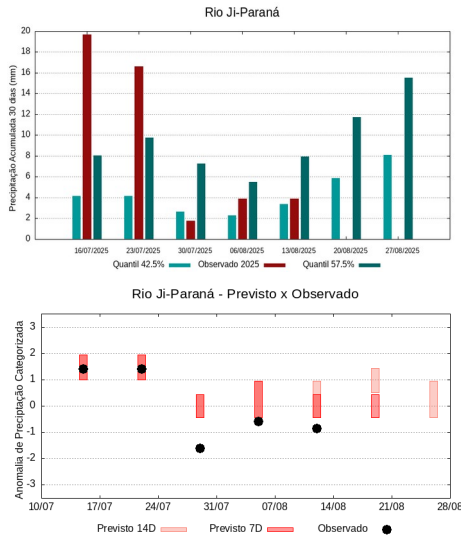
A climatologia do período em análise indica chuvas com registros variando entre **19 e 28 mm** sendo considerados normais (referência quantis 42.5% e 57.5%). Em **13 de agosto de 2025**, foram observados **4 mm** de precipitação média acumulada sobre a bacia em 30 dias, no cálculo da média do índice de anomalia categorizada na área da bacia o valor de **-2.0**, classifica a bacia em condição de **muito seco**. Nas próximas semanas o comportamento climático indica **manutenção** dos volumes de chuva, o modelo de prognóstico subsazonal sugere um comportamento **seco ou tendência a muito seco**.

Bacia do Rio Guaporé (Iténez)



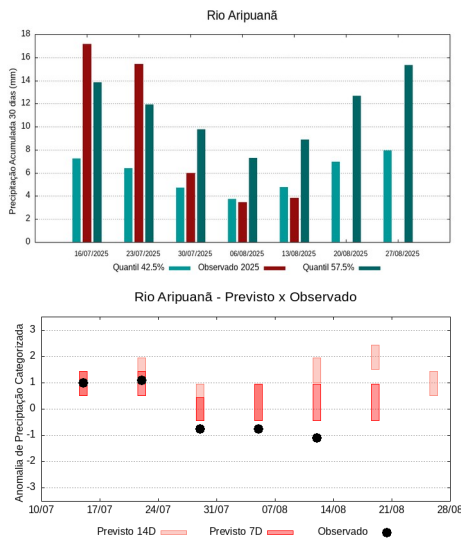
A climatologia do período em análise indica chuvas com registros variando entre **8 e 14 mm** sendo considerados normais (referência quantis 42.5% e 57.5%). Em **13 de agosto de 2025**, foram observados **4 mm** de precipitação média acumulada sobre a bacia em 30 dias, no cálculo da média do índice de anomalia categorizada na área da bacia o valor de **-1.3**, classifica a bacia em condição de **seco**. Nas próximas semanas o comportamento climático indica **elevação** dos volumes de chuva, o modelo de prognóstico subsazonal sugere um comportamento **seco ou tendência a seco**.

Bacia do Rio Ji-Paraná



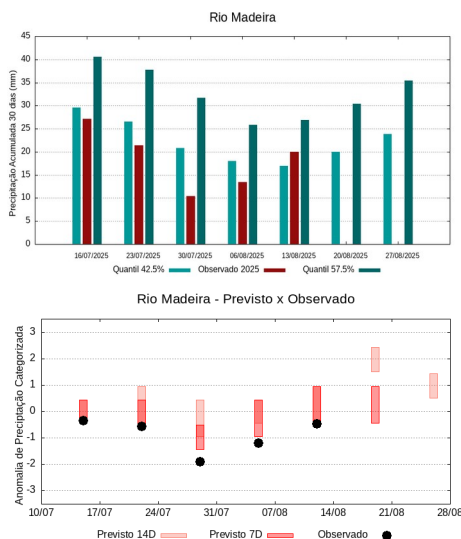
A climatologia do período em análise indica chuvas com registros variando entre **3 e 8 mm** sendo considerados normais (referência quantis 42.5% e 57.5%). Em **13 de agosto de 2025**, foram observados **4 mm** de precipitação média acumulada sobre a bacia em 30 dias, no cálculo da média do índice de anomalia categorizada na área da bacia, o valor de **-0.9**, classifica a bacia em condição de **tendência a seco**. Nas próximas semanas o comportamento climático indica **elevação** dos volumes de chuva, o modelo de prognóstico subsazonal sugere um comportamento **próximo da normalidade**.

Bacia do Rio Aripuanã



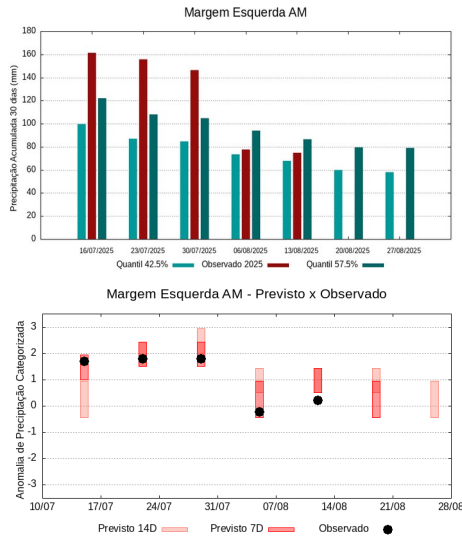
A climatologia do período em análise indica chuvas com registros variando entre **5 e 9 mm** sendo considerados normais (referência quantis 42.5% e 57.5%). Em **13 de agosto de 2025**, foram observados **4 mm** de precipitação média acumulada sobre a bacia em 30 dias, no cálculo da média do índice de anomalia categorizada na área da bacia o valor de **-1.0**, classifica a bacia em condição de **seco**. Nas próximas semanas o comportamento climático indica **elevação** dos volumes de chuva, o modelo de prognóstico subsazonal sugere um comportamento **próximo da normalidade ou tendência a chuvoso**.

Bacia do Rio Madeira



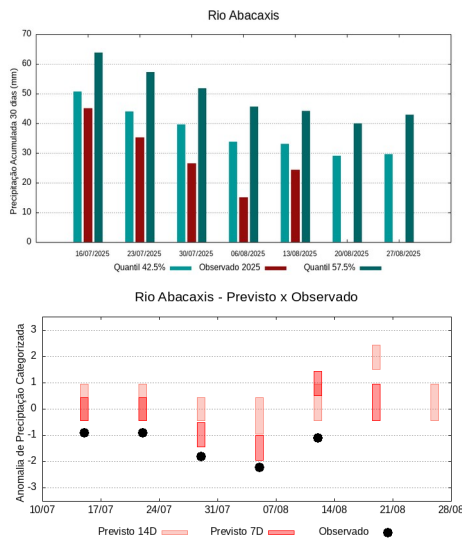
A climatologia do período em análise indica chuvas com registros variando entre **17 e 27 mm** sendo considerados normais (referência quantis 42.5% e 57.5%). Em **13 de agosto de 2025**, foram observados **20 mm** de precipitação média acumulada sobre a bacia em 30 dias, no cálculo da média do índice de anomalia categorizada na área da bacia o valor de **-0.5**, classifica a bacia em condição de **tendência a seco**. Nas próximas semanas o comportamento climático indica **elevação** dos volumes de chuva, o modelo de prognóstico subsazonal sugere um comportamento **próximo da normalidade ou tendência a chuvoso**.

Bacias da margem esquerda do Rio Amazonas (Amazonas)



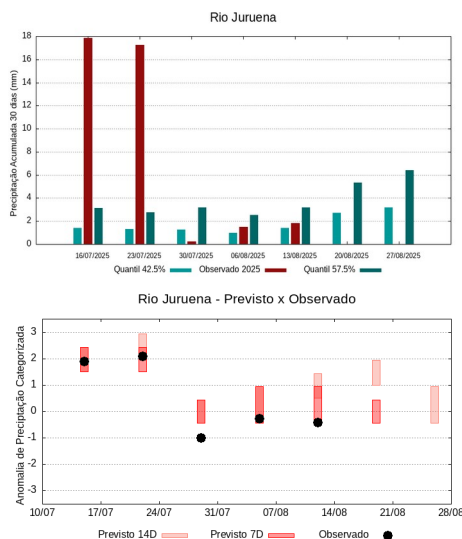
A climatologia do período em análise indica chuvas com registros variando entre **68 e 86 mm** sendo considerados normais (referência quantis 42.5% e 57.5%). Em **13 de agosto de 2025**, foram observados **75 mm** de precipitação média acumulada sobre a bacia em 30 dias, no cálculo da média do índice de anomalia categorizada na área da bacia o valor de **-0.3**, classifica a bacia em condição de **normalidade**. Nas próximas semanas o comportamento climático indica **redução** dos volumes de chuva, o modelo de prognóstico subsazonal sugere um comportamento **próximo da normalidade ou tendência a chuvoso**.

Bacia do Rio Abacaxis



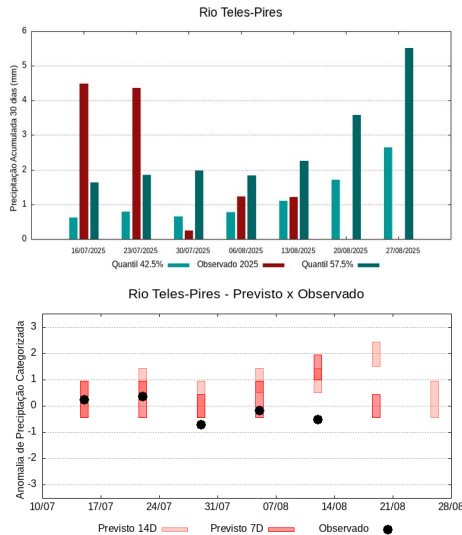
A climatologia do período em análise indica chuvas com registros variando entre **33 e 44 mm** sendo considerados normais (referência quantis 42.5% e 57.5%). Em **13 de agosto de 2025**, foram observados **24 mm** de precipitação média acumulada sobre a bacia em 30 dias, no cálculo da média do índice de anomalia categorizada na área da bacia o valor de **-1.0**, classifica a bacia em condição de **seco**. Nas próximas semanas o comportamento climático indica **manutenção** dos volumes de chuva, o modelo de prognóstico subsazonal sugere um comportamento **próximo da normalidade ou tendência a chuvoso**.

Bacia do Rio Juruena



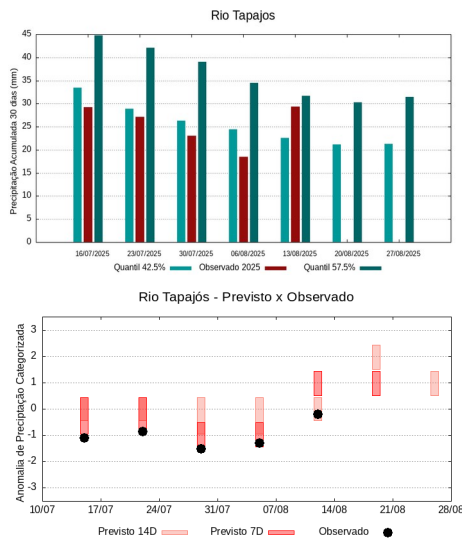
A climatologia do período em análise indica chuvas com registros variando entre **1 e 3 mm** sendo considerados normais (referência quantis 42.5% e 57.5%). Em **13 de agosto de 2025**, foram observados **2 mm** de precipitação média acumulada sobre a bacia em 30 dias, no cálculo da média do índice de anomalia categorizada na área da bacia o valor de **-0.3**, classifica a bacia em condição de **normalidade**. Nas próximas semanas o comportamento climático indica **elevação** dos volumes de chuva, o modelo de prognóstico subsazonal sugere um comportamento **próximo da normalidade**.

Bacia do Rio Teles Pires



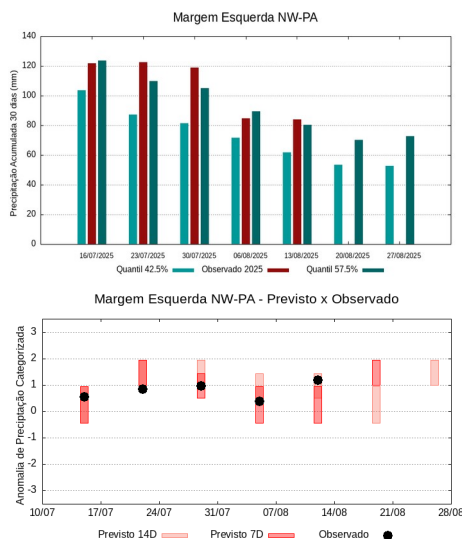
A climatologia do período em análise indica chuvas com registros variando entre **1 e 2 mm** sendo considerados normais (referência quantis 42.5% e 57.5%). Em **13 de agosto de 2025**, foram observados **1 mm** de precipitação média acumulada sobre a bacia em 30 dias, no cálculo da média do índice de anomalia categorizada na área da bacia o valor de **-0.4**, classifica a bacia em condição de **normalidade**. Nas próximas semanas o comportamento climático indica **elevação** dos volumes de chuva, o modelo de prognóstico subsazonal sugere um comportamento **próximo da normalidade**.

Bacia do Rio Tapajós



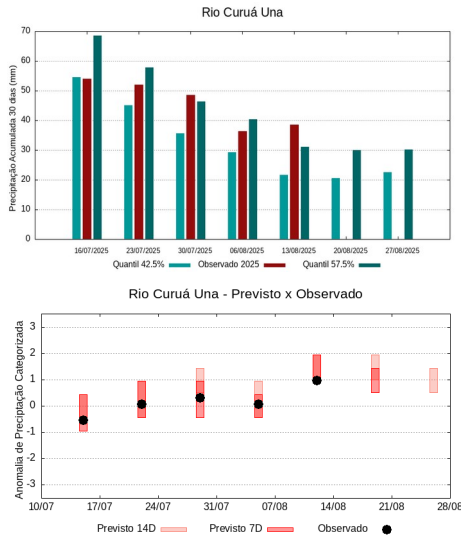
A climatologia do período em análise indica chuvas com registros variando entre **23 e 32 mm** sendo considerados normais (referência quantis 42.5% e 57.5%). Em **13 de agosto de 2025**, foram observados **29 mm** de precipitação média acumulada sobre a bacia em 30 dias, no cálculo da média do índice de anomalia categorizada na área da bacia o valor de **-0.2**, classifica a bacia em condição de **normalidade**. Nas próximas semanas o comportamento climático indica **manutenção** dos volumes de chuva, o modelo de prognóstico subsazonal sugere um comportamento **chuvoso ou tendência a chuvoso**.

Bacias da margem esquerda do Rio Amazonas (noroeste do Pará)



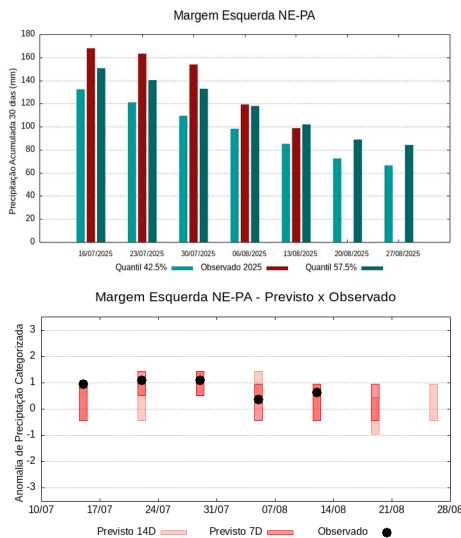
A climatologia do período em análise indica chuvas com registros variando entre **62 e 80 mm** sendo considerados normais (referência quantis 42.5% e 57.5%). Em **13 de agosto de 2025**, foram observados **84 mm** de precipitação média acumulada sobre a bacia em 30 dias, no cálculo da média do índice de anomalia categorizada na área da bacia o valor de **0.6**, classifica a bacia em condição de **tendência a chuvoso**. Nas próximas semanas o comportamento climático indica **redução** dos volumes de chuva, o modelo de prognóstico subsazonal sugere um comportamento **chuvoso ou tendência a muito chuvoso**.

Bacia do Rio Curuá Una



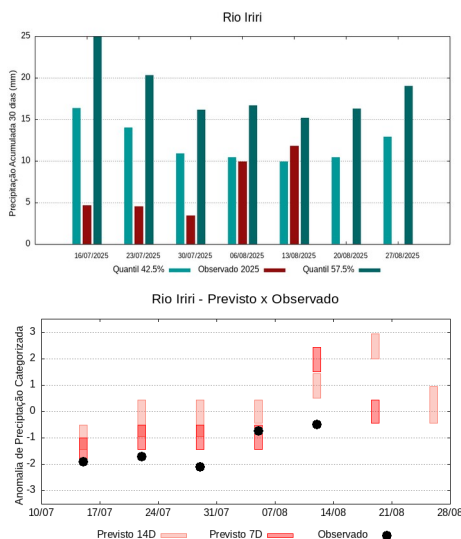
A climatologia do período em análise indica chuvas com registros variando entre **22 e 31 mm** sendo considerados normais (referência quantis 42.5% e 57.5%). Em **13 de agosto de 2025**, foram observados **39 mm** de precipitação média acumulada sobre a bacia em 30 dias, no cálculo da média do índice de anomalia categorizada na área da bacia o valor de **0.6**, classifica a bacia em condição de **tendência a chuvoso**. Nas próximas semanas o comportamento climático indica **manutenção** dos volumes de chuva, o modelo de prognóstico subsazonal sugere um comportamento **chuvoso ou tendência a chuvoso**.

Bacias da margem esquerda do Rio Amazonas (nordeste do PA)



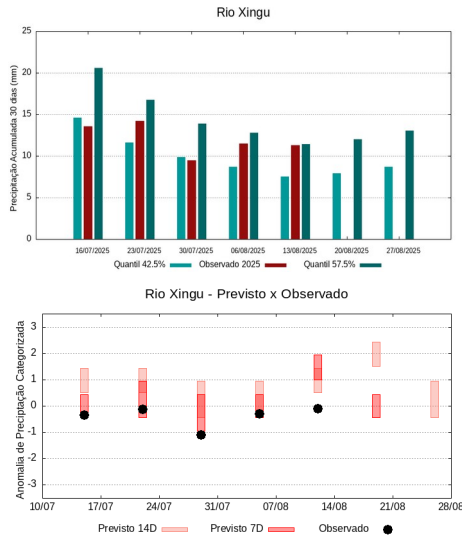
A climatologia do período em análise indica chuvas com registros variando entre **85 e 102 mm** sendo considerados normais (referência quantis 42.5% e 57.5%). Em **13 de agosto de 2025**, foram observados **99 mm** de precipitação média acumulada sobre a bacia em 30 dias, no cálculo da média do índice de anomalia categorizada na área da bacia o valor de **0.1**, classifica a bacia em condição de **normalidade**. Nas próximas semanas o comportamento climático indica **redução** dos volumes de chuva, o modelo de prognóstico subsazonal sugere um comportamento **próximo da normalidade ou tendência a chuvoso**.

Bacia do Rio Iriri



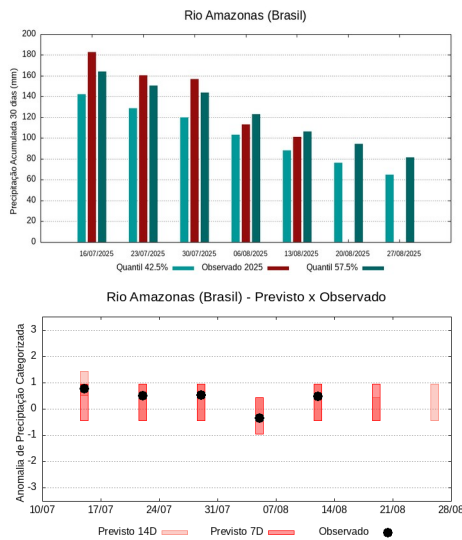
A climatologia do período em análise indica chuvas com registros variando entre **10 e 15 mm** sendo considerados normais (referência quantis 42.5% e 57.5%). Em **13 de agosto de 2025**, foram observados **12 mm** de precipitação média acumulada sobre a bacia em 30 dias, no cálculo da média do índice de anomalia categorizada na área da bacia o valor de **-0.4**, classifica a bacia em condição de **normalidade**. Nas próximas semanas o comportamento climático indica **elevação** dos volumes de chuva, o modelo de prognóstico subsazonal sugere um comportamento **próximo da normalidade**.

Bacia do Rio Xingu



A climatologia do período em análise indica chuvas com registros variando entre **8 e 11 mm** sendo considerados normais (referência quantis 42.5% e 57.5%). Em **13 de agosto de 2025**, foram observados **11 mm** de precipitação média acumulada sobre a bacia em 30 dias, no cálculo da média do índice de anomalia categorizada na área da bacia o valor de **-0.1**, classifica a bacia em condição de **normalidade**. Nas próximas semanas o comportamento climático indica **elevação** dos volumes de chuva, o modelo de prognóstico subsazonal sugere um comportamento **próximo da normalidade**.

Curso principal do Rio Amazonas (Brasil)

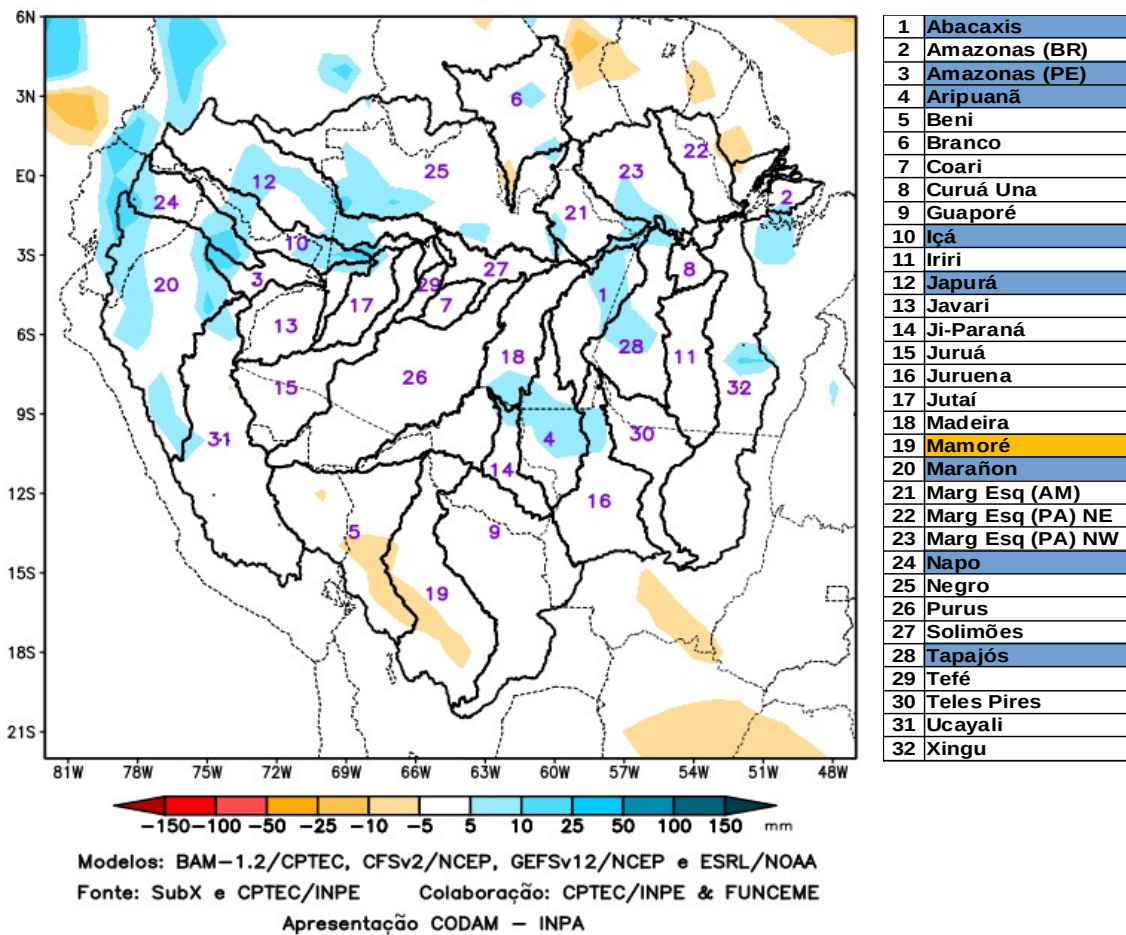


A climatologia do período em análise indica chuvas com registros variando entre **88 e 106 mm** sendo considerados normais (referência quantis 42.5% e 57.5%). Em **13 de agosto de 2025**, foram observados **101 mm** de precipitação média acumulada sobre a bacia em 30 dias, no cálculo da média do índice de anomalia categorizada na área da bacia o valor de **0.0**, classifica a bacia em condição de **normalidade**. Nas próximas semanas o comportamento climático indica **redução** dos volumes de chuva, o modelo de prognóstico subsazonal sugere um comportamento **próximo da normalidade ou tendência a chuvoso**.

Previsão multimodelo subsazonal CPTEC/INPE-FUNCEME produzida em 12/08/2025 para os próximos 7 e 14 dias.

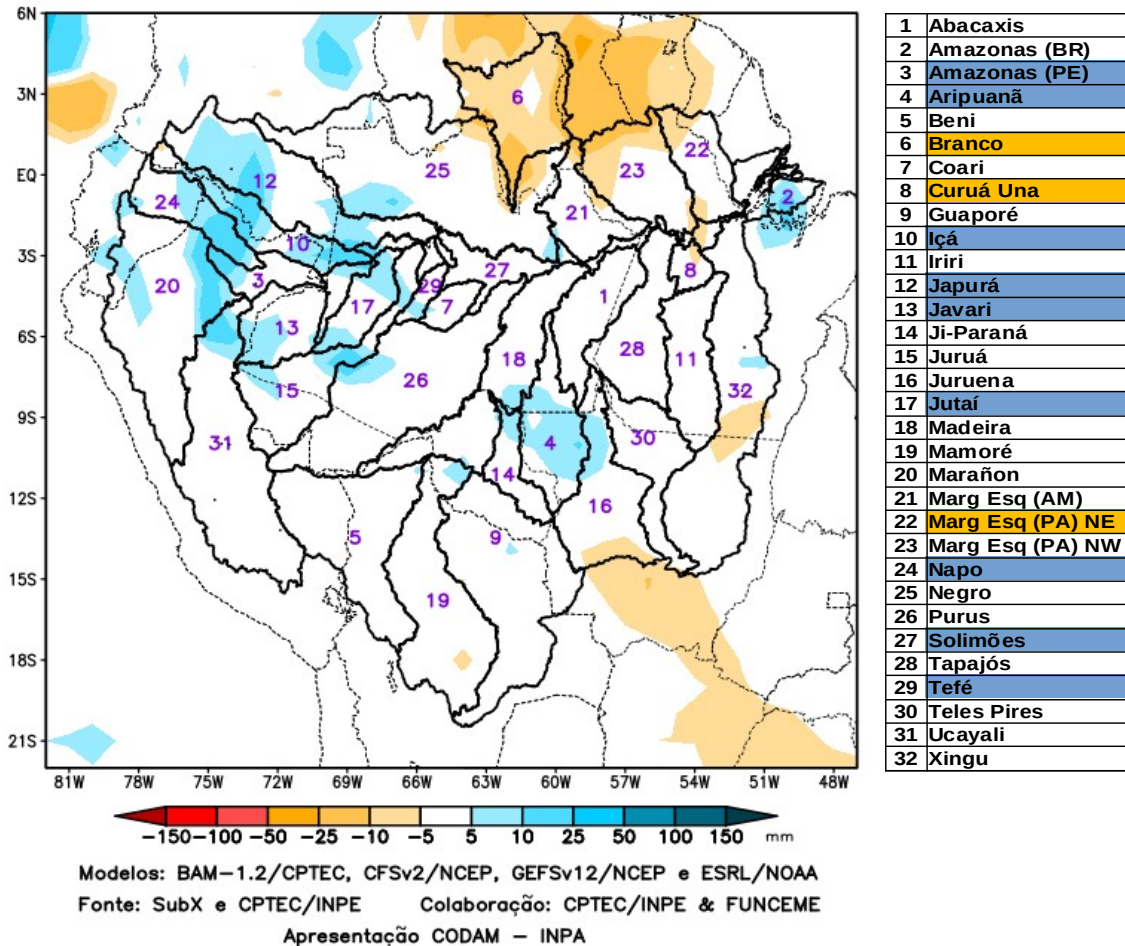
A previsão multimodelo subsazonal calibrada CPTEC/INPE-FUNCEME é gerada através de cooperação científica entre o CPTEC/INPE e a FUNCEME, sendo proveniente do conjunto de 4 modelos globais (um modelo brasileiro, o BAM-1.2/CPTEC, e três modelos dos EUA, CFSv2/NCEP, GEFSv12/NCEP e ESRL/NOAA, estes três últimos do projeto SubX). As anomalias de precipitação previstas são determinadas em relação ao período climatológico de 1999 a 2016. A seguir são apresentadas as saídas para o intervalo de previsão de 07 e 14 dias detalhando o comportamento previsto sobre as bacias de interesse.

PREVISÃO SUBSAZONAL – MULTIMODELO CALIBRADO
Anomalia (mm) de Precipitação Acumulada
(07 Dias) Período: 13/08/2025 – 19/08/2025



A Figura acima, apresenta o prognóstico para o intervalo de 7 dias entre 13/08/2025 e 19/08/2025, previsão de anomalias positivas de precipitação (azul) sobre o curso principal do Rio Amazonas em território peruano e as bacias hidrográficas dos rios Abacaxis, Aripuanã, Içá, Japurá, Marañon, Napo e Tapajós. Previsão de déficit de precipitação (laranja) concentrada sobre a bacia do Rio Mamoré. Previsão de chuvas próximas a climatologia (branco) sobre as demais bacias monitoradas.

PREVISÃO SUBSAZONAL-MULTIMODELO CALIBRADO
 Anomalia (mm) de Precipitação Acumulada
 (14 Dias) Período: 13/08/2025 - 26/08/2025



A Figura acima, apresenta o prognóstico para o intervalo de 14 dias entre 13/08/2025 e 26/08/2025, predomínio de anomalias positivas de precipitação (azul) sobre o curso principal do Rio Amazonas em território peruano e as bacias hidrográficas dos rios Aripuanã, Içá, Japurá, Javari, Jutaí, Napo, Tefé e o curso principal do Rio Solimões. Previsão de déficit de precipitação (laranja) sobre as bacias dos rios Branco, Curuá Una e bacias da margem esquerda do Rio Amazonas no nordeste do Estado do Pará. Previsão de chuvas próximas a climatologia (branco) sobre as demais bacias monitoradas.

Valores de Referência para a precipitação acumulada em 30 dias na data da análise.

A Tabela 1, mostra os valores de precipitação média acumulada (mm de chuva) por bacia, tomando como base as estimativas de precipitação por meio de imagens de satélite, produto denominado MERGE/GPM, disponibilizado pelo Instituto Nacional de Pesquisas Espaciais, no período 2000 – 2024, levando-se em conta o limite geográfico das bacias hidrográficas da Amazônia, para tanto foi utilizada a técnica de quantis, por se mostrar uma ferramenta adequada e precisa para categorizar precipitação e anomalias de variáveis discretas, foram adotados os seguintes limiares 5%, 12.5%, 20%, 27.5%, 35%, 42.5%, 57.5%, 65%, 72.5%, 80%, 87.5% e 95% buscando estratificar a técnica e permitir uma categorização mais detalhada das condições em cada bacia monitorada.

| 13/08/2025 | Quantis para categorização de anomalias de precipitação | | | | | | | | | | | |
|------------------|---|-------|-------|-------|-------|-------|-------|-------|-------|-------|-------|-------|
| | 5.0% | 12.5% | 20.0% | 27.5% | 35.0% | 42.5% | 57.5% | 65.0% | 72.5% | 80.0% | 87.5% | 95.0% |
| Abacaxis | 8 | 14 | 16 | 22 | 27 | 33 | 44 | 51 | 58 | 62 | 72 | 96 |
| Amazonas (BR) | 38 | 54 | 59 | 69 | 79 | 88 | 106 | 117 | 129 | 137 | 153 | 180 |
| Amazonas (PE) | 57 | 76 | 83 | 95 | 106 | 120 | 146 | 161 | 179 | 189 | 218 | 261 |
| Aripuanã | 0 | 1 | 1 | 2 | 3 | 5 | 9 | 12 | 16 | 20 | 28 | 49 |
| Beni | 5 | 10 | 12 | 16 | 20 | 24 | 34 | 41 | 49 | 54 | 67 | 94 |
| Branco | 134 | 161 | 172 | 189 | 203 | 216 | 242 | 256 | 272 | 281 | 306 | 347 |
| Coari | 17 | 24 | 26 | 32 | 37 | 43 | 56 | 65 | 78 | 84 | 97 | 113 |
| Curuá Una | 8 | 12 | 14 | 16 | 19 | 22 | 31 | 40 | 53 | 59 | 76 | 107 |
| Guaporé | 1 | 2 | 2 | 4 | 5 | 8 | 14 | 18 | 24 | 27 | 36 | 57 |
| Içá | 78 | 96 | 103 | 117 | 131 | 145 | 178 | 195 | 215 | 227 | 259 | 299 |
| Iriri | 2 | 3 | 4 | 6 | 8 | 10 | 15 | 19 | 23 | 28 | 40 | 60 |
| Japurá | 95 | 115 | 123 | 138 | 152 | 167 | 195 | 210 | 227 | 237 | 262 | 301 |
| Javari | 27 | 40 | 45 | 54 | 63 | 72 | 90 | 100 | 112 | 119 | 137 | 172 |
| Ji-Paraná | 0 | 19 | 1 | 1 | 2 | 3 | 8 | 13 | 20 | 23 | 33 | 53 |
| Juruá | 11 | 0 | 23 | 30 | 37 | 44 | 58 | 66 | 75 | 81 | 96 | 119 |
| Juruena | 0 | 0 | 0 | 1 | 1 | 1 | 3 | 5 | 7 | 9 | 14 | 26 |
| Jutáí | 26 | 43 | 49 | 58 | 65 | 72 | 86 | 95 | 106 | 113 | 132 | 164 |
| Madeira | 3 | 6 | 7 | 10 | 13 | 17 | 27 | 33 | 42 | 46 | 58 | 83 |
| Mamoré | 4 | 7 | 9 | 12 | 15 | 19 | 28 | 34 | 42 | 46 | 60 | 87 |
| Marañon | 32 | 43 | 47 | 55 | 64 | 73 | 99 | 109 | 121 | 129 | 145 | 173 |
| Marg Esq (AM) | 24 | 34 | 39 | 50 | 59 | 68 | 86 | 97 | 109 | 115 | 129 | 156 |
| Marg Esq (PA) NE | 42 | 54 | 59 | 68 | 77 | 85 | 102 | 112 | 122 | 128 | 143 | 167 |
| Marg Esq (PA) NW | 26 | 35 | 40 | 47 | 54 | 62 | 80 | 90 | 101 | 108 | 124 | 149 |
| Napo | 69 | 91 | 99 | 114 | 130 | 150 | 198 | 220 | 242 | 253 | 277 | 312 |
| Negro | 105 | 127 | 136 | 149 | 162 | 174 | 199 | 212 | 227 | 236 | 258 | 294 |
| Purus | 4 | 8 | 10 | 14 | 19 | 24 | 36 | 43 | 51 | 56 | 68 | 88 |
| Solimões | 29 | 43 | 49 | 58 | 66 | 73 | 90 | 98 | 109 | 115 | 132 | 157 |
| Tapajós | 6 | 9 | 11 | 15 | 18 | 23 | 32 | 38 | 46 | 51 | 61 | 81 |
| Tefé | 23 | 34 | 38 | 44 | 49 | 55 | 67 | 75 | 85 | 93 | 107 | 138 |
| Teles Pires | 0 | 0 | 0 | 0 | 1 | 1 | 2 | 3 | 5 | 6 | 10 | 21 |
| Ucayali | 8 | 13 | 16 | 21 | 26 | 31 | 42 | 49 | 57 | 63 | 78 | 106 |
| Xingu | 1 | 3 | 3 | 5 | 6 | 8 | 11 | 14 | 18 | 21 | 28 | 42 |

Tabela 1. Quantis de precipitação acumulada (mm) em 30 dias (15 de julho a 13 de agosto), Climatologia do período (2000 - 2024) dados MERGE/GPM – INPE/CPTEC.

Categorização das anomalias de precipitação

Utilizando os valores constantes na tabela anterior é possível categorizar a precipitação observada no ano corrente em relação aos valores observados nos registros anteriores desde o início da série disponível, assim os valores observados inferiores ao quantil de 5% caracterizam a bacia em condição de extremamente seco, entre 5 e 12.5% em condição de tendência a extremamente seco, entre 12.5 e 20% condição de muito seco, entre 20 e 27.5% tendência a muito seco, entre 27.5 e 35% condição de seco, entre 35 e 42.5 condição de tendência a seco, valores entre 42.5 e 57.5 definem a condição de normalidade, valores entre 57.5 e 65% condição de tendência a chuvoso, entre 65 e 72.5% condição de chuvoso, entre 72.5 e 80% tendência a muito chuvoso, entre 80 e 87.5 condição de muito chuvoso, entre 87.5 e 95% indicam tendência a extremamente chuvoso e finalmente valores superiores a 95% definem a bacia em condição de extremamente chuvoso, conforme legenda abaixo.

| QUANTIL | 5.0% | 12.5% | 20.0% | 27.5% | 35.0% | 42.5% | 57.5% | 65.0% | 72.5% | 80.0% | 87.5% | 95.0% |
|-----------|-------------------|-------------------------------|------------|------------------------|-------|------------------|--------|---------------------|---------|---------------------------|---------------|----------------------|
| INDICE | -3.0 | -2.5 | -2.0 | -1.5 | -1.0 | -0.5 | 0.0 | 0.5 | 1.0 | 1.5 | 2.0 | 3.0 |
| CATEGORIA | EXTREMAMENTE SECO | TENDÊNCIA A EXTREMAMENTE SECO | MUITO SECO | TENDÊNCIA A MUITO SECO | SECO | TENDÊNCIA A SECO | NORMAL | TENDÊNCIA A CHUVOSO | CHUVOSO | TENDÊNCIA A MUITO CHUVOSO | MUITO CHUVOSO | EXTREMAMENTE CHUVOSO |

As tabelas a seguir apresentam (Tabela 2A) a precipitação média observada (mm) em cada bacia tomando como referência as estimativas de precipitação por satélite utilizando a técnica MERGE, acumuladas em 30 dias nas datas indicadas, disponibilizadas em <http://ftp.cptec.inpe.br/modelos/tempo/MERGE/GPM/DAILY/> os valores médios das anomalias categorizadas (Tabela 2B) foram estimados com base no valor de anomalia de cada pixel na área da bacia monitorada, calculados conforme metodologia descrita no item anterior, nas mesmas datas do monitoramento da precipitação, a escala de cores das anomalias segue a legenda descrita.

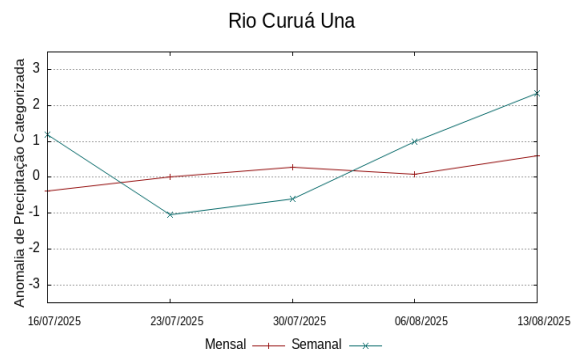
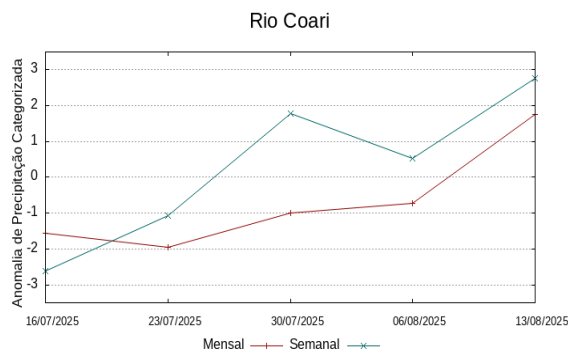
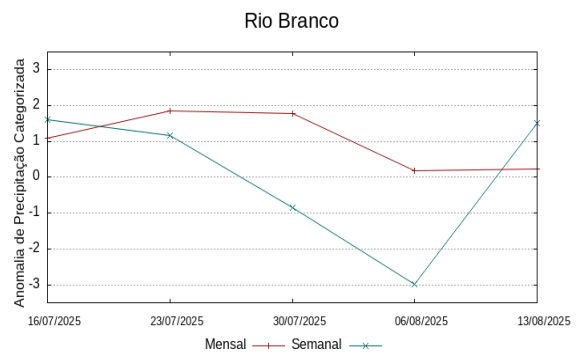
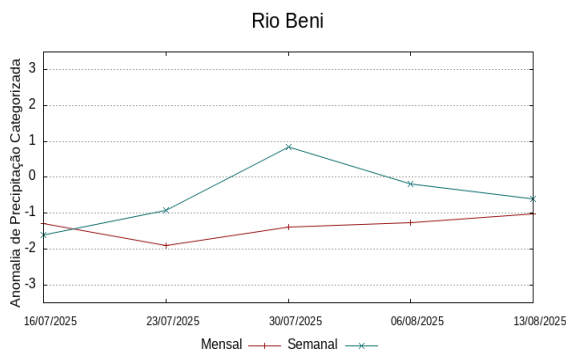
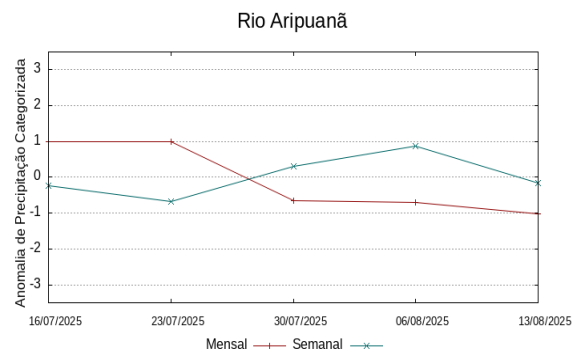
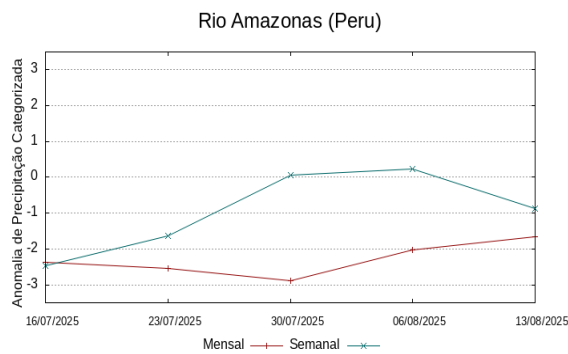
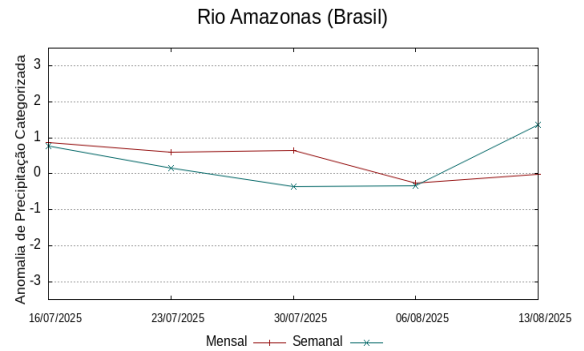
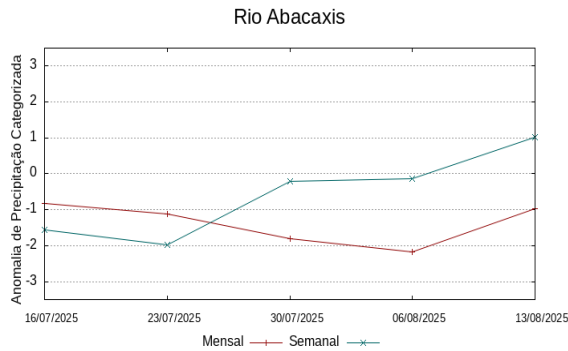
| | Precipitação acumulada média na bacia (mm) | | | | | STATUS |
|------------------|--|------------|------------|------------|------------|---------------------|
| | 16/07/2025 | 23/07/2025 | 30/07/2025 | 06/08/2025 | 13/08/2025 | |
| Abacaxis | 45 | 35 | 26 | 15 | 24 | 1 Abacaxis |
| Amazonas (BR) | 183 | 160 | 157 | 113 | 101 | 2 Amazonas (BR) |
| Amazonas (PE) | 90 | 84 | 60 | 79 | 86 | 3 Amazonas (PE) |
| Aripuanã | 17 | 15 | 6 | 3 | 4 | 4 Aripuanã |
| Beni | 19 | 14 | 16 | 16 | 22 | 5 Beni |
| Branco | 329 | 348 | 348 | 246 | 240 | 6 Branco |
| Coari | 58 | 42 | 51 | 46 | 90 | 7 Coari |
| Curuá Una | 54 | 52 | 49 | 36 | 39 | 8 Curuá Una |
| Guaporé | 10 | 8 | 0 | 3 | 4 | 9 Guaporé |
| Içá | 171 | 166 | 128 | 131 | 125 | 10 Içá |
| Iriri | 5 | 5 | 3 | 10 | 12 | 11 Iriri |
| Japurá | 212 | 195 | 154 | 139 | 109 | 12 Japurá |
| Javari | 46 | 43 | 49 | 59 | 62 | 13 Javari |
| Ji-Paraná | 20 | 17 | 2 | 4 | 4 | 14 Ji-Paraná |
| Juruá | 32 | 28 | 42 | 50 | 61 | 15 Juruá |
| Juruena | 18 | 17 | 0 | 2 | 2 | 16 Juruena |
| Jutai | 45 | 47 | 63 | 82 | 92 | 17 Jutai |
| Madeira | 27 | 21 | 10 | 13 | 20 | 18 Madeira |
| Mamoré | 14 | 6 | 3 | 4 | 4 | 19 Mamoré |
| Marañon | 75 | 71 | 68 | 57 | 69 | 20 Marañon |
| Marg Esq (AM) | 161 | 156 | 147 | 77 | 75 | 21 Marg Esq (AM) |
| Marg Esq (PA) NE | 168 | 163 | 154 | 119 | 99 | 22 Marg Esq (PA) NE |
| Marg Esq (PA) NW | 122 | 123 | 119 | 85 | 84 | 23 Marg Esq (PA) NW |
| Napo | 198 | 184 | 156 | 123 | 134 | 24 Napo |
| Negro | 243 | 221 | 198 | 165 | 146 | 25 Negro |
| Purus | 27 | 20 | 16 | 19 | 25 | 26 Purus |
| Solimões | 100 | 81 | 60 | 55 | 83 | 27 Solimões |
| Tapajós | 29 | 27 | 23 | 18 | 29 | 28 Tapajós |
| Tefé | 60 | 43 | 61 | 63 | 126 | 29 Tefé |
| Teles Pires | 4 | 4 | 0 | 1 | 1 | 30 Teles Pires |
| Ucayali | 21 | 19 | 17 | 16 | 23 | 31 Ucayali |
| Xingu | 14 | 14 | 9 | 12 | 11 | 32 Xingu |

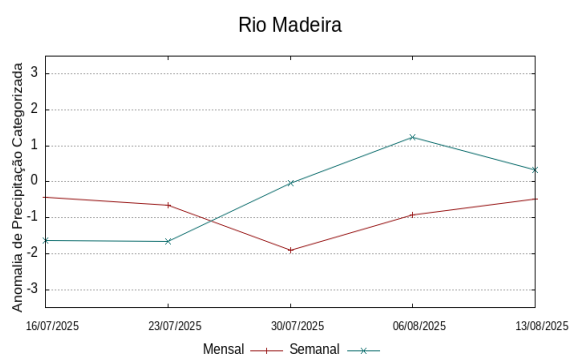
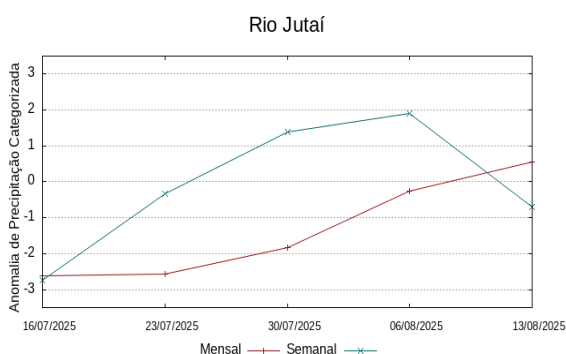
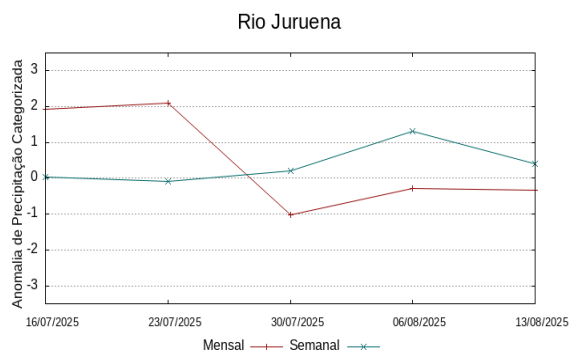
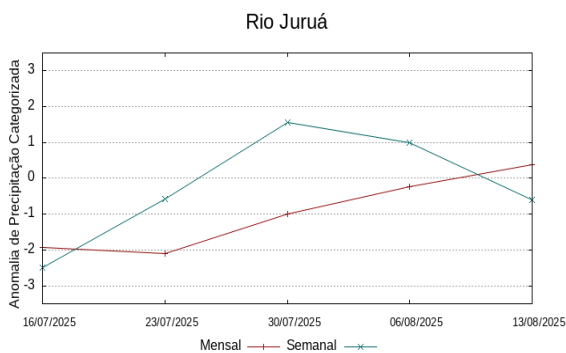
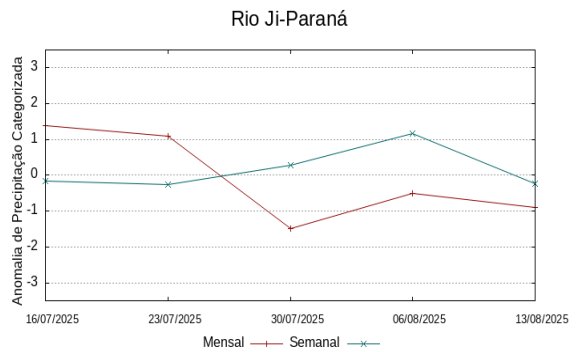
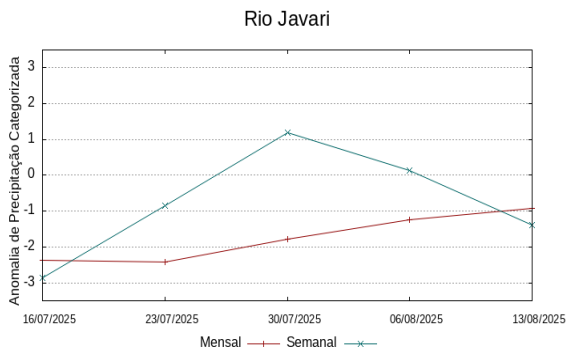
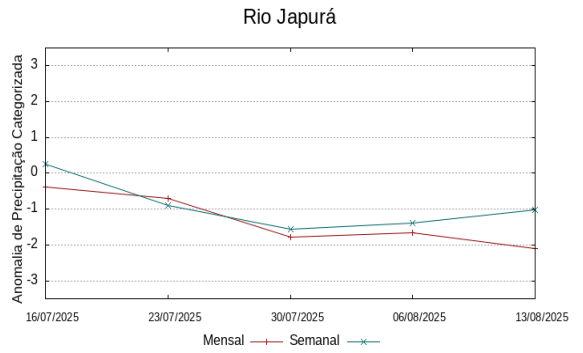
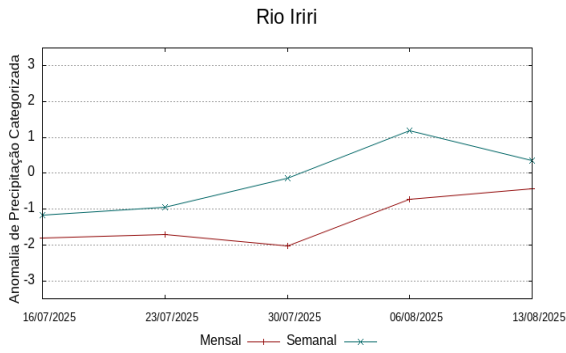
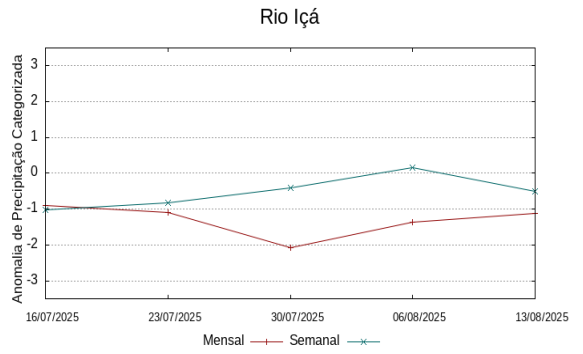
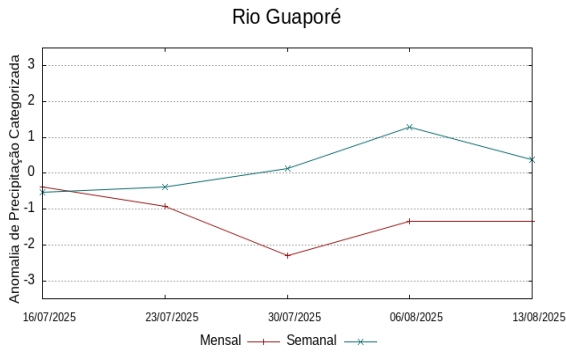
Tabela 2A. Precipitação acumulada em 30 dias (mm), de dados MERGE/GPM – INPE/CPTEC.

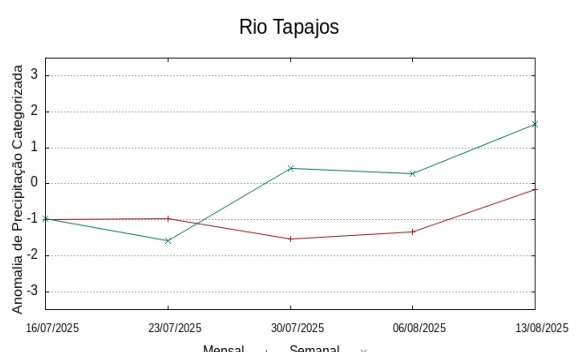
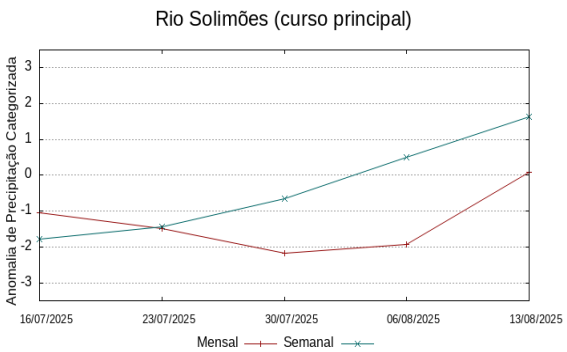
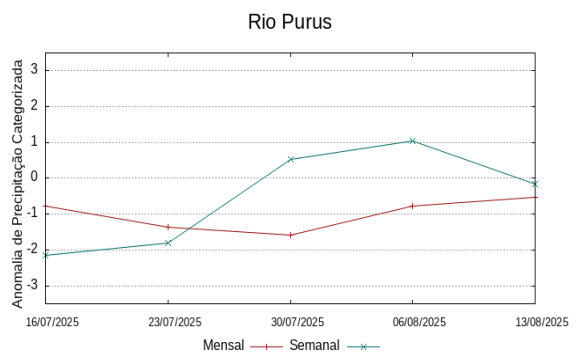
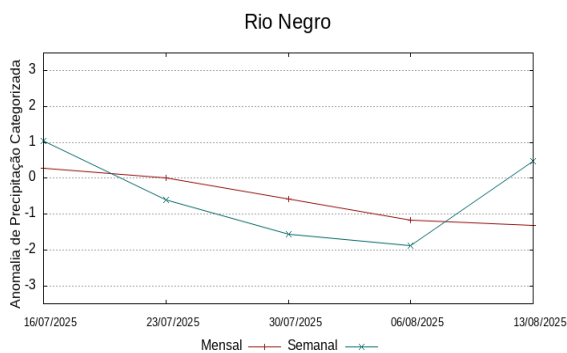
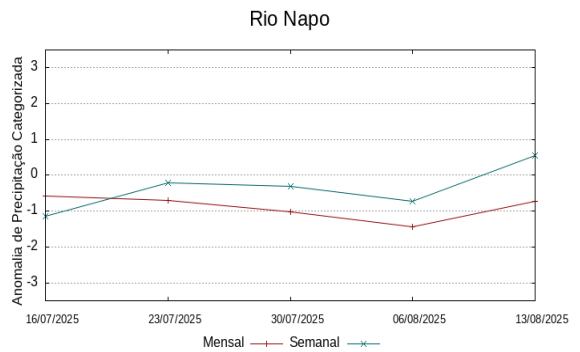
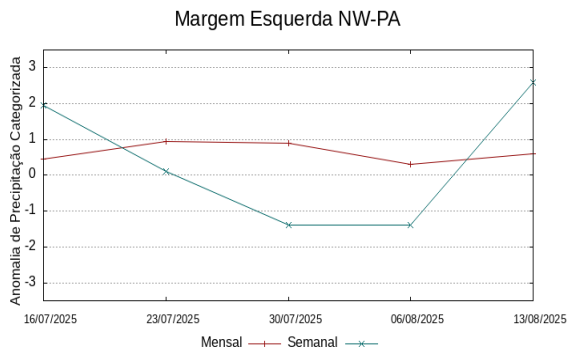
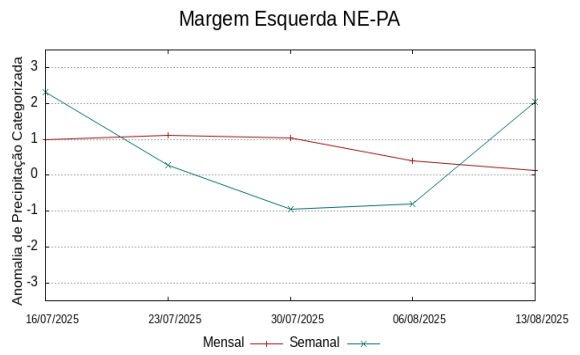
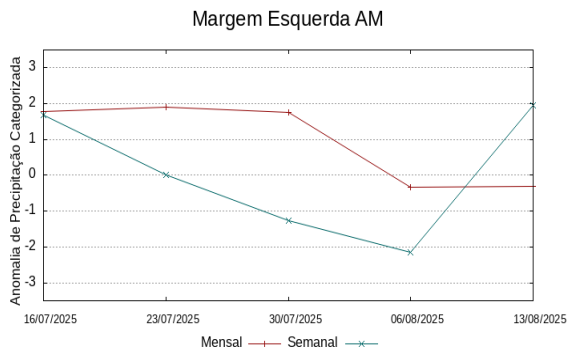
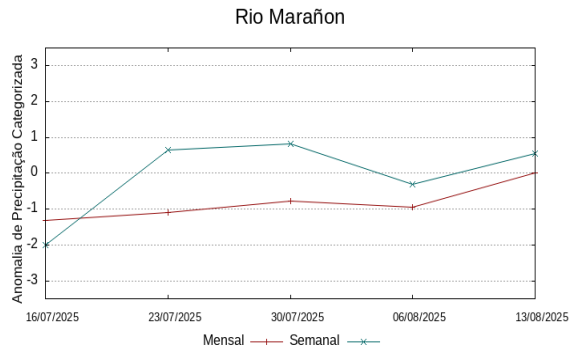
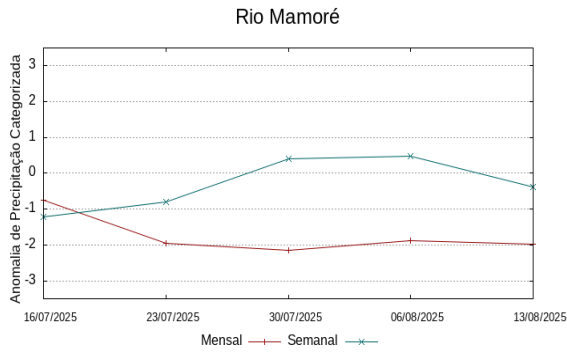
Tabela 2B. Anomalia Categorizada Precipitação por quantis.

Comportamento das anomalias 07 e 30 dias observado nas semanas anteriores

Os gráficos a seguir ilustram o comportamento do índice das anomalias de precipitação nas últimas semanas, linhas vermelhas mostram o comportamento de períodos de 30 dias e linhas em azul o comportamento em relação a períodos de 7 dias, atualizados semanalmente.







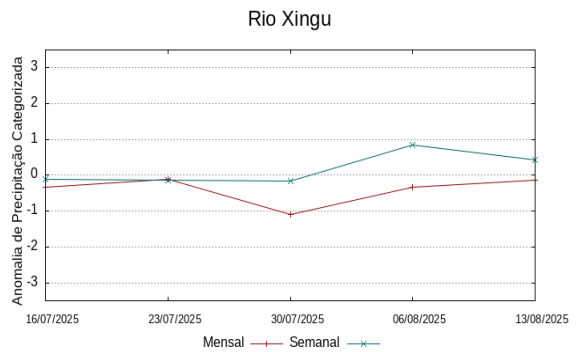
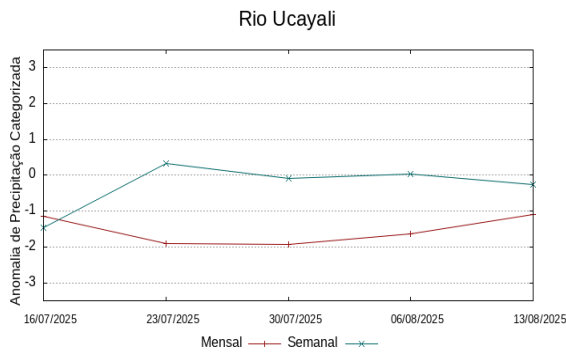
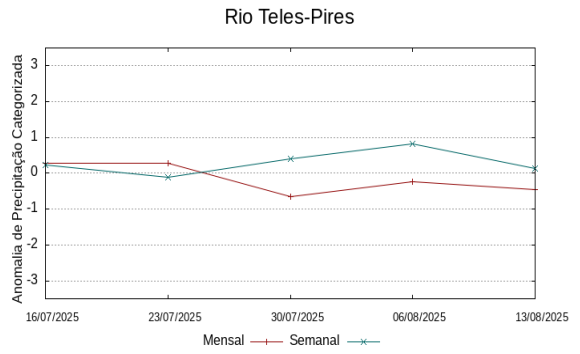
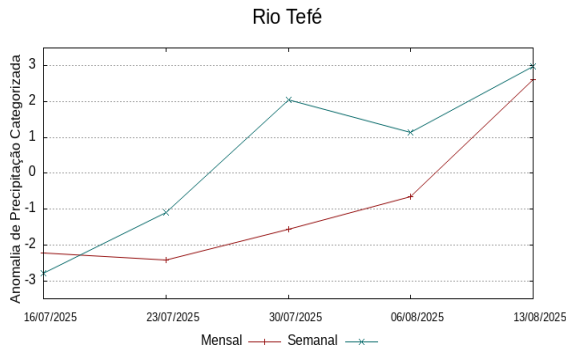
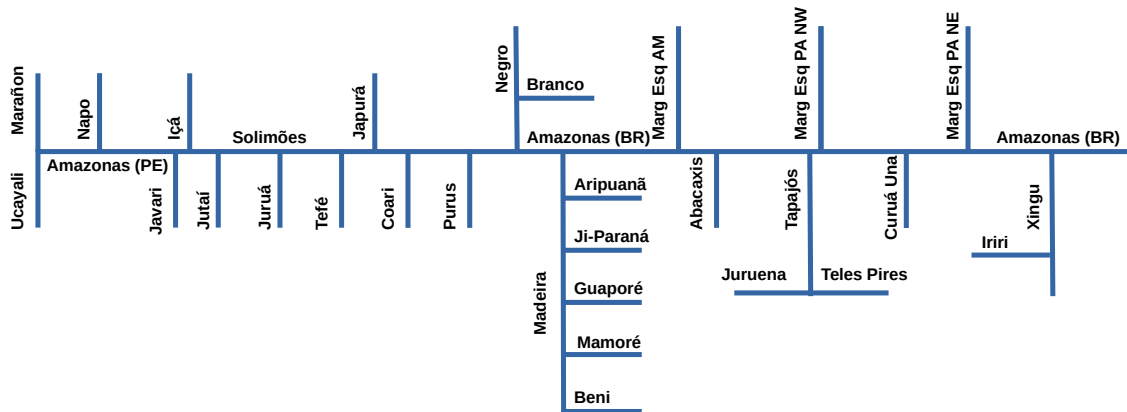


Diagrama unifilar das bacias representadas



Renato Cruz Senna

Pesquisador - CODAM

Meteorologista, CREA-AM 2880-D

Registro Nacional 040459935-4

Fone de contato +55 92 3643 3170

